



Model intensitas hujan akibat pemanasan global pada DAS Cidanau Kabupaten Serang Provinsi Banten

Mochamad Azwar Anas¹✉, Hanafi Aswad¹, Mas'ud Sar¹

Fakultas Teknik Sipil Universitas Muslim Indonesia, Makassar⁽¹⁾

DOI: 10.31004/jutin.v8i1.42063

✉ Corresponding author:

[mochamad.zwaranas@gmail.com]

Article Info

Abstrak

Kata kunci:

Intensitas;
Parameter Iklim;
Pola Iklim;
Hujan

Curah hujan ekstrem yang lebih sering terjadi dapat menyebabkan banjir dan tanah longsor di beberapa wilayah Banten, terutama di daerah pegunungan dan perbukitan. Peningkatan suhu udara di Banten cenderung meningkat dalam beberapa dekade terakhir. Hal ini dapat mempengaruhi produktivitas pertanian dan meningkatkan risiko kebakaran hutan dan lahan. Pola curah hujan yang tidak menentu dapat mempengaruhi sektor pertanian dan ketersediaan air bersih di Banten, untuk mengatasi dampak perubahan iklim ini, Pemerintah Provinsi Banten telah mengambil beberapa langkah mitigasi dan adaptasi, seperti perbaikan infrastruktur pengendali banjir, penanaman mangrove di wilayah pesisir, dan penerapan praktik pertanian yang lebih tahan terhadap perubahan iklim. Tujuan dari penelitian ini ialah untuk menentukan model intensitas dan pengaruh variabel iklim terhadap intensitas hujan akibat pemanasan global pada DAS Cidanau Kabupaten Serang Provinsi Banten. Metode yang digunakan pada penelitian ini ialah analisis frekuensi, probabilitas, uji kecocokan serta analisis intensitas hujan berdasarkan simulasi iklim. Hasil dari penelitian ini didapatkan model intensitas parameter iklim yang paling berpengaruh terhadap intensitas hujan untuk simulasi 1 variabel adalah kelembaban udara (Rh) dengan persamaan I (RH) = 166,10 X-0,666 , untuk simulasi 2 variabel adalah kecepatan angin dan kelembaban udara (W-RH) dengan persamaan I (W-RH) = 177,84 X-0,666 dan yang paling tinggi pengaruhnya yaitu simulasi 3 variabel temperatur, kecepatan angin, dan kelembaban udara (T-W-RH) secara simultan dengan persamaan I (T-W-RH) = 190,70 X-0,666.

Abstract

Keywords:

Intensity;
Climate Parameters;
Climate Patterns;
Rainfall

More frequent extreme rainfall can cause floods and landslides in some areas of Banten, especially in mountainous and hilly areas. The increase in air temperature in Banten tends to increase in recent decades. This can affect agricultural productivity and increase the risk of forest and land fires. Uncertain rainfall patterns can affect the agricultural sector and the availability of clean water in Banten, to overcome the impact of climate change, the Banten Provincial Government has taken several mitigation and adaptation measures, such as improving flood control infrastructure, planting mangroves in coastal areas, and implementing agricultural practices that are more resilient to climate change. The purpose of this study is to determine the model of the intensity and influence of climate variables on the intensity of rainfall due to global warming in the Cidanau watershed, Serang Regency, Banten Province. The methods used in this study

are frequency analysis, probability, compatibility test and rain intensity analysis based on climate simulation. The results of this study obtained a model of the intensity of climate parameters that have the most influence on the intensity of rain for the simulation of 1 variable is air humidity (Rh) with the equation I (RH) = 166,10 X-0,666 , For the simulation, 2 variables are wind speed and air humidity (W-RH) with the equation I (W-RH) = 177,84 X-0,666 and the highest influence is the simulation of 3 variables of temperature, wind speed, and air humidity (T-W-RH) simultaneously with the equation I (T-W-RH) = 190,70 X-0,666.

1. INTRODUCTION

Pemanasan global telah menyebabkan perubahan iklim yang signifikan di seluruh dunia, termasuk Indonesia. Indonesia sebagai negara kepulauan tropis, menjadi salah satu wilayah yang paling rentan terhadap dampak perubahan iklim. Beberapa dampak utama yang dirasakan di Indonesia antara lain: 1. Kenaikan suhu dan perubahan pola curah hujan. Suhu rata-rata di Indonesia telah meningkat sekitar 0,3°C sejak tahun 1960. Selain itu, pola curah hujan juga berubah, dengan musim kemarau yang lebih panjang dan musim hujan yang lebih singkat dan lebih ekstrem (IPCC, 2014). 2. Kenaikan permukaan air laut. Kenaikan permukaan air laut yang disebabkan oleh mencairnya es di kutub bumi mengancam wilayah pesisir dan pulau-pulau kecil di Indonesia. Diperkirakan kenaikan permukaan laut dapat mencapai 1-meter pada akhir abad ke-21 (BMKG, 2020). 3. Peningkatan frekuensi dan intensitas bencana alam. Perubahan iklim meningkatkan risiko bencana alam seperti banjir, tanah longsor, kekeringan, dan gelombang panas. Indonesia telah mengalami bencana alam yang lebih sering dan lebih parah dalam beberapa tahun terakhir (BNPB, 2021). 4. Dampak terhadap sektor pertanian dan keamanan pangan. Perubahan iklim berdampak pada produktivitas pertanian, yang dapat mengancam ketahanan pangan di Indonesia. Kekeringan dan banjir yang lebih sering terjadi dapat menurunkan hasil panen dan meningkatkan risiko kelaparan (FAO, 2018).

Provinsi Banten terletak di bagian barat Pulau Jawa, Indonesia. Wilayah ini memiliki garis pantai yang panjang dan sebagian besar wilayahnya berupa dataran rendah. Kondisi geografis ini menjadikan Banten rentan terhadap dampak perubahan iklim akibat pemanasan global. Beberapa dampak perubahan iklim yang telah terjadi di Banten antara lain: 1. Kenaikan muka air laut. Kenaikan permukaan air laut mengancam wilayah pesisir Banten, seperti Kabupaten Serang dan Kota Cilegon. Wilayah ini berpotensi mengalami banjir rob dan abrasi pantai yang semakin parah (Badan Meteorologi, Klimatologi, dan Geofisika, 2020). 2. Peningkatan curah hujan ekstrem. Curah hujan ekstrem yang lebih sering terjadi dapat menyebabkan banjir dan tanah longsor di beberapa wilayah Banten, terutama di daerah pegunungan dan perbukitan (Dinas Lingkungan Hidup dan Kehutanan Provinsi Banten, 2019). 3. Peningkatan suhu udara. Suhu udara di Banten cenderung meningkat dalam beberapa dekade terakhir. Hal ini dapat mempengaruhi produktivitas pertanian dan meningkatkan risiko kebakaran hutan dan lahan (Badan Pusat Statistik Provinsi Banten, 2021). 4. Perubahan pola curah hujan. Pola curah hujan yang tidak menentu dapat mempengaruhi sektor pertanian dan ketersediaan air bersih di Banten (Dinas Pertanian dan Ketahanan Pangan Provinsi Banten, 2020). Untuk mengatasi dampak perubahan iklim ini, Pemerintah Provinsi Banten telah mengambil beberapa langkah mitigasi dan adaptasi, seperti perbaikan infrastruktur pengendali banjir, penanaman mangrove di wilayah pesisir, dan penerapan praktik pertanian yang lebih tahan terhadap perubahan iklim. Kelanjutan dari penelitian terdahulu yang dilakukan oleh Chaerul Umam ZL, yang telah mendapatkan pola hujan akibat pengaruh perubahan iklim, perlu dilakukan pengembangan selanjutnya yaitu menentukan model intensitas hujan akibat parameter iklim. Berdasarkan latar belakang di atas, maka penulis mengangkat judul untuk Tesis tentang Model Intensitas Hujan Akibat Pemanasan Global Pada Das Cidanau Kabupaten Serang Provinsi Banten. Penelitian ini akan memberikan informasi dampak perubahan iklim terhadap intensitas hujan pada skala lokal, khususnya di Daerah Aliran Sungai (DAS) Cidanau, dan juga dapat dijadikan sebagai bahan kajian pada skala regional (provinsi), serta sebagai dasar perumusan strategi mitigasi dan adaptasi terhadap perubahan iklim yang terjadi untuk daerah tropis.

2. METHODS

Cidanau dengan luas 22.620 hektare merupakan daerah aliran sungai (DAS) yang memiliki andil penting dalam mendukung kontinuitas pembangunan di Provinsi Banten, khususnya di wilayah Serang Barat dan Kota Cilegon. Selain memiliki sumber daya air yang sangat potensial, DAS Cidanau memiliki situs konservasi yang endemik, yaitu Rawa Danau – kawasan rawa seluas 2.500 hektare dan ditetapkan sebagai cagar alam oleh Pemerintah Kolonial Belanda pada 16 November 1921. Kemudian Keputusan Presiden (Keppres) Nomor 32 Tahun 1990 tentang Pengelolaan Kawasan Lindung, Peraturan Daerah (Perda) Provinsi Jawa Barat Nomor 2 Tahun 1996 tentang Pengelolaan Kawasan Lindung, dan Perda Kabupaten Serang Nomor 2 Tahun 1994 tentang Pola Dasar Kabupaten Serang yang menetapkan Rawa Danau sebagai kawasan cagar alam. Dalam dua puluh tahun terakhir DAS Cidanau mengalami degradasi lingkungan yang tidak saja mengancam eksistensi cagar alam Rawa Danau, tetapi juga pada keberlanjutan ketersediaan dan kualitas air.

Gambaran Umum DAS Cidanau

Cidanau dengan luas 22.620 hektare merupakan daerah aliran sungai (DAS) yang memiliki andil penting dalam mendukung kontinuitas pembangunan di Provinsi Banten, khususnya di wilayah Serang Barat dan Kota Cilegon, dengan potensi debit rata-rata 2.000 liter per detik. Daerah Aliran Sungai (DAS) Cidanau merupakan salah satu DAS penting di wilayah Propinsi Banten, secara geografis DAS Cidanau terletak di antara $06^{\circ} 07' 30''$ – $06^{\circ} 18' 00''$ LS dan $105^{\circ} 49' 00''$ – $106^{\circ} 04' 00''$ BT. DAS Cidanau mencakup kawasan seluas 22.620 Ha (Sumber: RTL DAS Cidanau), yang mencakup wilayah Kabupaten Pandeglang seluas 999,29 Ha dan Kabupaten Serang seluas 21.620,71 Ha. Wilayah DAS Cidanau secara administratif terdiri dari 33 Desa pada 5 wilayah kecamatan di Kabupaten Serang dan 4 desa di kecamatan Mandalawangi Kabupaten Pandeglang. Tata guna lahan di DAS Cidanau, adalah sebagai berikut: - Hutan belukar: 1.539,00 Ha, - Rawa: 1.935,80 Ha, - Sawah: 6.786,30 Ha, - Semak: 5.982,40 Ha, - Kebun campuran: 3.471,10 Ha, - Permukiman: 396,80 Ha. Sumber: Master Plan Pengembangan dan Konservasi DAS Cidanau, Bappeda Banten 2022.



1. Pengambilan data variabel iklim (Curah hujan, temperature, kelembaban dan kecepatan angin) menggunakan aplikasi National Aeronautics and Space Administration (NASA) Langley Research Center (LaRC) Prediction of Worldwide Energy Resource (POWER) Project selama rentang waktu 31 tahun (1990 – 2020)
2. Diperoleh data curah hujan hasil regresi tahunan dari penelitian terdahulu:
 - a. CH terhadap T
 - b. CH terhadap W
 - c. CH terhadap RH
 - d. CH terhadap T dan W
 - e. CH terhadap T dan RH
 - f. CH terhadap W dan RH
 - g. CH terhadap T, W dan RH
3. Melakukan analisis parameter frekuensi curah hujan
4. Menentukan probabilitas hujan dengan melakukan uji kecocokan
 - a. Metode Smirnov Kosmomogorov
 - b. Metode Uji Chi-Square
5. Analisis intensitas curah hujan terhadap:
 - a. I terhadap T
 - b. I terhadap W
 - c. I terhadap RH
 - d. I terhadap T dan W
 - e. I terhadap T dan RH
 - f. I terhadap W dan RH
 - g. I terhadap T, W, dan RH

3. RESULT AND DISCUSSION

Perhitungan intensitas hujan menggunakan metode persamaan Mononobe sebagai berikut:

$$I = \frac{R_{24}}{24} \left[\frac{24}{t} \right]^{2/3}$$

Dimana:

I = Intensitas curah hujan (mm/jam)

R_{24} = Curah hujan maksimum dalam 24 jam (mm)

t = Lamanya curah hujan (jam)

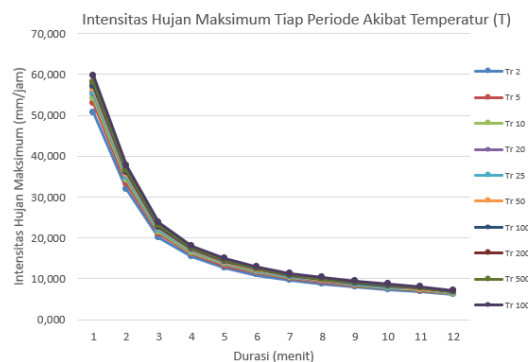
sehingga intensitas hujan akibat temperatur (T) pada durasi 5 menit diperoleh:

$$I = \frac{27.957}{24} \left(\frac{24}{\frac{5}{60}} \right)^{\frac{2}{3}} = 50.610 \text{ mm/jam}$$

Untuk hasil perhitungan intensitas hujan secara lengkap dapat dilihat pada tabel berikut ini.

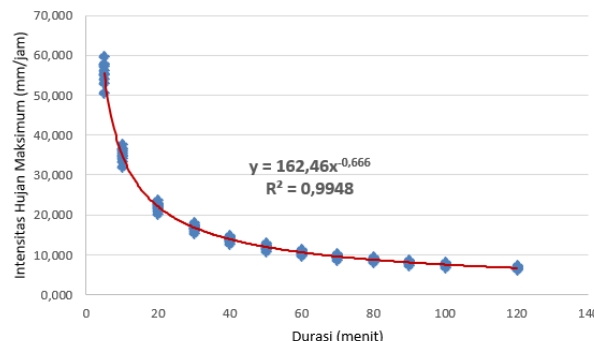
Tabel 4.1 Perhitungan Intensitas Hujan Akibat Temperatur (T)

| T | 2 | 5 | 10 | 20 | 25 | 50 | 100 | 200 | 500 | 1000 |
|--------|--|--------|--------|--------|--------|--------|--------|--------|--------|--------|
| Xtr | 27,957 | 29,179 | 29,853 | 30,472 | 30,598 | 31,094 | 31,553 | 31,981 | 31,981 | 32,895 |
| Durasi | Intensitas Hujan Akibat Temperatur - I (T) | | | | | | | | | |
| 5 | 50,610 | 52,821 | 54,041 | 55,163 | 55,391 | 56,289 | 57,119 | 57,895 | 57,895 | 59,550 |
| 10 | 31,897 | 33,291 | 34,060 | 34,767 | 34,910 | 35,477 | 36,000 | 36,488 | 36,488 | 37,531 |
| 20 | 20,103 | 20,982 | 21,466 | 21,912 | 22,002 | 22,359 | 22,689 | 22,997 | 22,997 | 23,654 |
| 30 | 15,346 | 16,016 | 16,386 | 16,726 | 16,795 | 17,068 | 17,319 | 17,555 | 17,555 | 18,056 |
| 40 | 12,670 | 13,224 | 13,529 | 13,810 | 13,867 | 14,092 | 14,300 | 14,494 | 14,494 | 14,908 |
| 50 | 10,920 | 11,398 | 11,661 | 11,903 | 11,952 | 12,146 | 12,325 | 12,492 | 12,492 | 12,849 |
| 60 | 9,672 | 10,094 | 10,327 | 10,542 | 10,585 | 10,757 | 10,916 | 11,064 | 11,064 | 11,380 |
| 70 | 8,728 | 9,109 | 9,320 | 9,513 | 9,552 | 9,707 | 9,851 | 9,984 | 9,984 | 10,270 |
| 80 | 7,985 | 8,334 | 8,527 | 8,704 | 8,740 | 8,881 | 9,012 | 9,135 | 9,135 | 9,396 |
| 90 | 7,383 | 7,705 | 7,883 | 8,047 | 8,080 | 8,211 | 8,332 | 8,446 | 8,446 | 8,687 |
| 100 | 6,883 | 7,183 | 7,349 | 7,502 | 7,533 | 7,655 | 7,768 | 7,873 | 7,873 | 8,098 |
| 120 | 6,096 | 6,362 | 6,509 | 6,644 | 6,671 | 6,780 | 6,880 | 6,973 | 6,973 | 7,172 |

**Gambar 4.8 Grafik intensitas hujan rancangan tiap periode akibat temperatur (T)****Tabel 4.47 Persamaan Intensitas Hujan Tiap Periode Akibat Temperatur (T)**

| Periode (Tr) | Pers. Intensitas Hujan Akibat T |
|--------------|---------------------------------|
| 2 | $I(T) = 335.484 X^{-0.667}$ |
| 5 | $I(T) = 350.145 X^{-0.667}$ |
| 10 | $I(T) = 358.232 X^{-0.667}$ |
| 20 | $I(T) = 365.67 X^{-0.667}$ |
| 25 | $I(T) = 367.176 X^{-0.667}$ |
| 50 | $I(T) = 373.134 X^{-0.667}$ |
| 100 | $I(T) = 378.635 X^{-0.667}$ |
| 200 | $I(T) = 383.775 X^{-0.667}$ |
| 500 | $I(T) = 383.775 X^{-0.667}$ |
| 1000 | $I(T) = 394.745 X^{-0.667}$ |

Dari beberapa persamaan intensitas hujan tiap periode di atas, dapat diperoleh model intensitas hujan maksimum akibat temperatur (T) yang dapat dilihat pada gambar berikut ini.

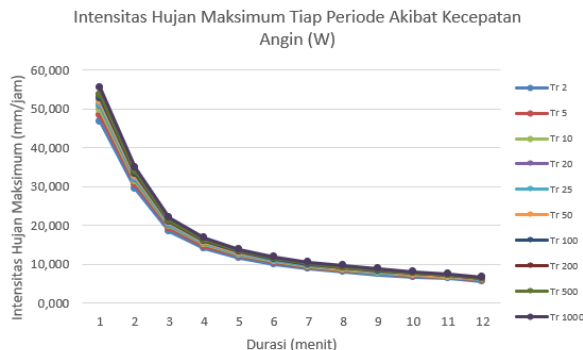
**Gambar 4.9 Grafik intensitas hujan maksimum akibat temperatur (T)**

Untuk parameter iklim lainnya yaitu kecepatan angin (W) dan kelembaban udara (RH), dengan dilakukan simulasi 1 variabel, 2 variabel, dan 3 variabel secara simultan dapat dilihat pada tabel dan gambar berikut ini.

Tabel 4.48 Perhitungan Intensitas Hujan Akibat Kecepatan Angin (W)

| T | 2 | 5 | 10 | 20 | 25 | 50 | 100 | 200 | 500 | 1000 |
|--------|---|--------|--------|--------|--------|--------|--------|--------|--------|--------|
| Xtr | 25,680 | 26,727 | 27,356 | 27,969 | 28,094 | 28,610 | 29,103 | 29,578 | 29,578 | 30,644 |
| Durasi | Intensitas Hujan Akibat Kecepatan Angin - I (W) | | | | | | | | | |
| 5 | 46,487 | 48,384 | 49,521 | 50,632 | 50,857 | 51,792 | 52,684 | 53,545 | 53,545 | 55,475 |
| 10 | 29,299 | 30,494 | 31,211 | 31,911 | 32,053 | 32,642 | 33,204 | 33,747 | 33,747 | 34,963 |
| 20 | 18,465 | 19,219 | 19,671 | 20,112 | 20,201 | 20,573 | 20,927 | 21,269 | 21,269 | 22,035 |
| 30 | 14,096 | 14,671 | 15,016 | 15,352 | 15,421 | 15,704 | 15,975 | 16,236 | 16,236 | 16,821 |
| 40 | 11,638 | 12,113 | 12,398 | 12,676 | 12,732 | 12,966 | 13,189 | 13,405 | 13,405 | 13,888 |
| 50 | 10,031 | 10,440 | 10,685 | 10,925 | 10,974 | 11,175 | 11,368 | 11,554 | 11,554 | 11,970 |
| 60 | 8,884 | 9,246 | 9,464 | 9,676 | 9,719 | 9,898 | 10,068 | 10,232 | 10,232 | 10,601 |
| 70 | 8,017 | 8,344 | 8,540 | 8,732 | 8,771 | 8,932 | 9,086 | 9,234 | 9,234 | 9,567 |
| 80 | 7,335 | 7,634 | 7,814 | 7,989 | 8,024 | 8,172 | 8,313 | 8,448 | 8,448 | 8,753 |

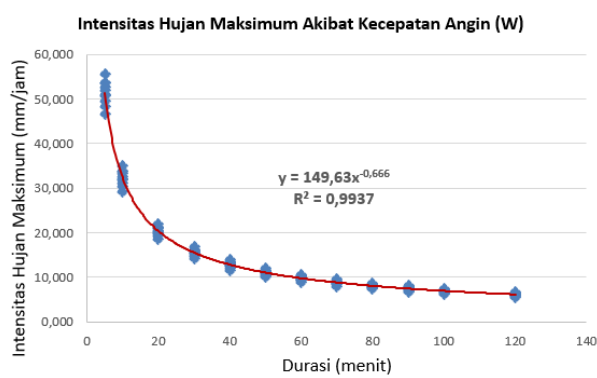
| T | 2 | 5 | 10 | 20 | 25 | 50 | 100 | 200 | 500 | 1000 |
|--------|---|--------|--------|--------|--------|--------|--------|--------|--------|--------|
| Xtr | 25,680 | 26,727 | 27,356 | 27,969 | 28,094 | 28,610 | 29,103 | 29,578 | 29,578 | 30,644 |
| Durasi | Intensitas Hujan Akibat Kecepatan Angin - I (W) | | | | | | | | | |
| 90 | 6,781 | 7,058 | 7,224 | 7,386 | 7,419 | 7,555 | 7,685 | 7,811 | 7,811 | 8,092 |
| 100 | 6,322 | 6,580 | 6,735 | 6,886 | 6,916 | 7,043 | 7,165 | 7,282 | 7,282 | 7,544 |
| 120 | 5,599 | 5,827 | 5,964 | 6,098 | 6,125 | 6,238 | 6,345 | 6,449 | 6,449 | 6,681 |



Gambar 4.10 Grafik intensitas hujan rancangan tiap periode akibat kecepatan angin (W)

Tabel 4.49 Persamaan Intensitas Hujan Tiap Periode Akibat Kecepatan Angin (W)

| Periode (Tr) | Pers. Intensitas Hujan Akibat W |
|--------------|---------------------------------|
| 2 | $I (W) = 308.156 X^{-0.667}$ |
| 5 | $I (W) = 320.73 X^{-0.667}$ |
| 10 | $I (W) = 328.269 X^{-0.667}$ |
| 20 | $I (W) = 335.631 X^{-0.667}$ |
| 25 | $I (W) = 337.123 X^{-0.667}$ |
| 50 | $I (W) = 343.32 X^{-0.667}$ |
| 100 | $I (W) = 349.235 X^{-0.667}$ |
| 200 | $I (W) = 354.939 X^{-0.667}$ |
| 500 | $I (W) = 354.939 X^{-0.667}$ |
| 1000 | $I (W) = 367.732 X^{-0.667}$ |

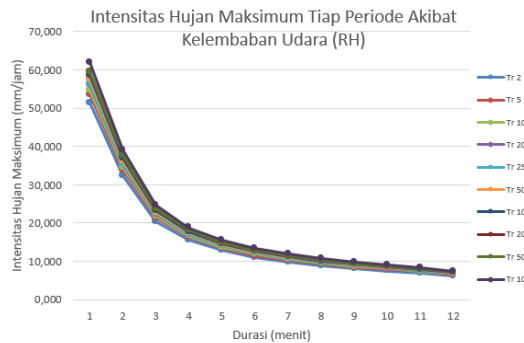


Gambar 4.11 Grafik intensitas hujan maksimum akibat temperatur (W)

Tabel 4.50 Perhitungan Intensitas Hujan Akibat Kelembaban Udara (RH)

| T | 2 | 5 | 10 | 20 | 25 | 50 | 100 | 200 | 500 | 1000 |
|--------|---|--------|--------|--------|--------|--------|--------|--------|--------|--------|
| Xtr | 28,373 | 29,560 | 30,286 | 31,007 | 31,153 | 31,765 | 32,355 | 32,929 | 32,929 | 34,227 |
| Durasi | Intensitas Hujan Akibat Kelembaban Udara - I (RH) | | | | | | | | | |
| 5 | 51,364 | 53,511 | 54,826 | 56,130 | 56,395 | 57,504 | 58,572 | 59,610 | 59,610 | 61,961 |
| 10 | 32,372 | 33,726 | 34,554 | 35,376 | 35,543 | 36,242 | 36,915 | 37,569 | 37,569 | 39,051 |
| 20 | 20,403 | 21,256 | 21,778 | 22,296 | 22,401 | 22,841 | 23,266 | 23,678 | 23,678 | 24,612 |
| 30 | 15,574 | 16,225 | 16,624 | 17,020 | 17,100 | 17,436 | 17,760 | 18,075 | 18,075 | 18,788 |
| 40 | 12,859 | 13,396 | 13,726 | 14,052 | 14,118 | 14,396 | 14,663 | 14,923 | 14,923 | 15,512 |
| 50 | 11,083 | 11,546 | 11,830 | 12,111 | 12,169 | 12,408 | 12,638 | 12,862 | 12,862 | 13,370 |

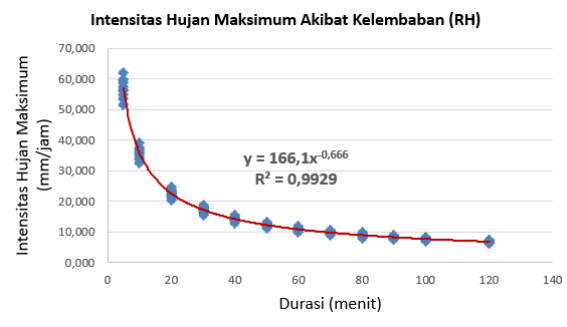
| T | 2 | 5 | 10 | 20 | 25 | 50 | 100 | 200 | 500 | 1000 |
|--------|---|--------|--------|--------|--------|--------|--------|--------|--------|--------|
| Xtr | 28,373 | 29,560 | 30,286 | 31,007 | 31,153 | 31,765 | 32,355 | 32,929 | 32,929 | 34,227 |
| Durasi | Intensitas Hujan Akibat Kelembaban Udara - I (RH) | | | | | | | | | |
| 60 | 9,816 | 10,226 | 10,477 | 10,727 | 10,777 | 10,989 | 11,193 | 11,392 | 11,392 | 11,841 |
| 70 | 8,858 | 9,228 | 9,455 | 9,680 | 9,726 | 9,917 | 10,101 | 10,280 | 10,280 | 10,686 |
| 80 | 8,104 | 8,443 | 8,651 | 8,856 | 8,898 | 9,073 | 9,242 | 9,405 | 9,405 | 9,776 |
| 90 | 7,493 | 7,806 | 7,998 | 8,188 | 8,227 | 8,389 | 8,544 | 8,696 | 8,696 | 9,039 |
| 100 | 6,985 | 7,277 | 7,456 | 7,633 | 7,669 | 7,820 | 7,965 | 8,106 | 8,106 | 8,426 |
| 120 | 6,186 | 6,445 | 6,603 | 6,760 | 6,792 | 6,926 | 7,055 | 7,180 | 7,180 | 7,463 |



Gambar 4.12 Grafik intensitas hujan rancangan tiap periode akibat kelembaban udara (RH)

Tabel 4.51 Persamaan Intensitas Hujan Tiap Periode Akibat Kelembaban Udara (RH)

| Periode (Tr) | Pers. Intensitas Hujan Akibat RH |
|--------------|----------------------------------|
| 2 | $I (RH) = 340.482 X^{-0.667}$ |
| 5 | $I (RH) = 354.717 X^{-0.667}$ |
| 10 | $I (RH) = 363.434 X^{-0.667}$ |
| 20 | $I (RH) = 372.079 X^{-0.667}$ |
| 25 | $I (RH) = 373.832 X^{-0.667}$ |
| 50 | $I (RH) = 381.183 X^{-0.667}$ |
| 100 | $I (RH) = 388.264 X^{-0.667}$ |
| 200 | $I (RH) = 395.143 X^{-0.667}$ |
| 500 | $I (RH) = 395.143 X^{-0.667}$ |
| 1000 | $I (RH) = 410.73 X^{-0.667}$ |

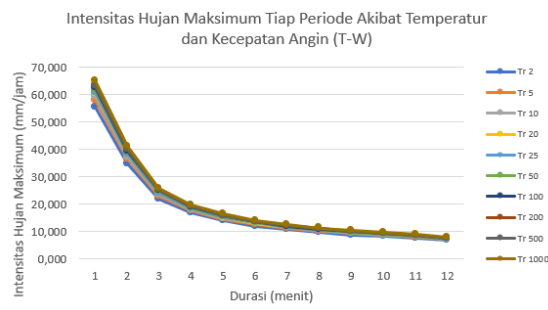


Gambar 4.13 Grafik intensitas hujan maksimum akibat kelembaban udara (RH)

Tabel 4.52 Perhitungan Intensitas Hujan Akibat Temperatur dan Kecepatan Angin (T-W)

| T | 2 | 5 | 10 | 20 | 25 | 50 | 100 | 200 | 500 | 1000 |
|--------|--|--------|--------|--------|--------|--------|--------|--------|--------|--------|
| Xtr | 30.498 | 31.904 | 32.667 | 33.360 | 33.500 | 34.051 | 34.553 | 35.022 | 35.022 | 36.007 |
| Durasi | Intensitas Hujan Akibat Temperatur dan Kecepatan Angin - I (T,W) | | | | | | | | | |
| 5 | 55.209 | 57.755 | 59.135 | 60.390 | 60.645 | 61.641 | 62.551 | 63.399 | 63.399 | 65.183 |
| 10 | 34.796 | 36.400 | 37.270 | 38.061 | 38.221 | 38.849 | 39.423 | 39.957 | 39.957 | 41.081 |
| 20 | 21.930 | 22.941 | 23.490 | 23.988 | 24.089 | 24.485 | 24.846 | 25.183 | 25.183 | 25.892 |
| 30 | 16.740 | 17.512 | 17.931 | 18.311 | 18.388 | 18.691 | 18.966 | 19.224 | 19.224 | 19.764 |
| 40 | 13.821 | 14.459 | 14.804 | 15.119 | 15.182 | 15.432 | 15.659 | 15.872 | 15.872 | 16.318 |

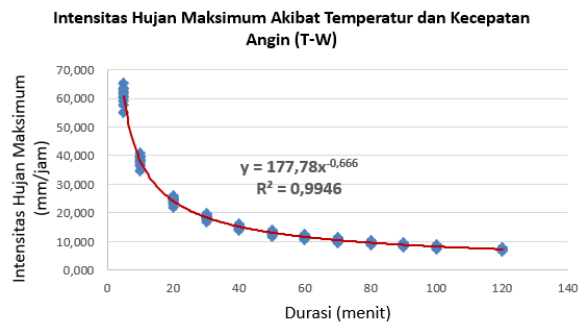
| T | 2 | 5 | 10 | 20 | 25 | 50 | 100 | 200 | 500 | 1000 |
|--------|--|--------|--------|--------|--------|--------|--------|--------|--------|--------|
| Xtr | 30.498 | 31.904 | 32.667 | 33.360 | 33.500 | 34.051 | 34.553 | 35.022 | 35.022 | 36.007 |
| Durasi | Intensitas Hujan Akibat Temperatur dan Kecepatan Angin - I (T,W) | | | | | | | | | |
| 50 | 11.913 | 12.462 | 12.760 | 13.031 | 13.086 | 13.301 | 13.497 | 13.680 | 13.680 | 14.065 |
| 60 | 10.551 | 11.037 | 11.301 | 11.541 | 11.589 | 11.780 | 11.954 | 12.116 | 12.116 | 12.457 |
| 70 | 9.521 | 9.960 | 10.198 | 10.415 | 10.459 | 10.630 | 10.787 | 10.934 | 10.934 | 11.241 |
| 80 | 8.711 | 9.113 | 9.330 | 9.528 | 9.569 | 9.726 | 9.869 | 10.003 | 10.003 | 10.285 |
| 90 | 8.054 | 8.425 | 8.627 | 8.810 | 8.847 | 8.992 | 9.125 | 9.249 | 9.249 | 9.509 |
| 100 | 7.508 | 7.854 | 8.042 | 8.213 | 8.247 | 8.383 | 8.506 | 8.622 | 8.622 | 8.864 |
| 120 | 6.650 | 6.956 | 7.122 | 7.274 | 7.304 | 7.424 | 7.534 | 7.636 | 7.636 | 7.851 |



Gambar 4.14 Grafik intensitas hujan rancangan tiap periode akibat temperatur dan kecepatan angin (T-W)

Tabel 4.53 Persamaan Intensitas Hujan Tiap Periode Akibat Temperatur dan Kecepatan Angin (T-W)

| Periode (Tr) | Pers. Intensitas Hujan Akibat T dan W |
|--------------|---------------------------------------|
| 2 | $I(T,W) = 365.974 X^{-0.667}$ |
| 5 | $I(T,W) = 382.852 X^{-0.667}$ |
| 10 | $I(T,W) = 391.999 X^{-0.667}$ |
| 20 | $I(T,W) = 400.318 X^{-0.667}$ |
| 25 | $I(T,W) = 402.003 X^{-0.667}$ |
| 50 | $I(T,W) = 408.609 X^{-0.667}$ |
| 100 | $I(T,W) = 414.64 X^{-0.667}$ |
| 200 | $I(T,W) = 420.262 X^{-0.667}$ |
| 500 | $I(T,W) = 420.262 X^{-0.667}$ |
| 1000 | $I(T,W) = 432.085 X^{-0.667}$ |

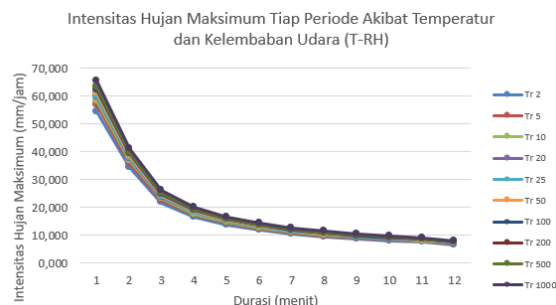


Gambar 4.15 Grafik intensitas hujan maksimum akibat temperatur dan kecepatan angin (T-W)

Tabel 4.54 Perhitungan Intensitas Hujan Akibat Temperatur dan Kelembaban Udara (T-RH)

| T | 2 | 5 | 10 | 20 | 25 | 50 | 100 | 200 | 500 | 1000 |
|--------|--|--------|--------|--------|--------|--------|--------|--------|--------|--------|
| Xtr | 30.053 | 31.391 | 32.178 | 32.933 | 33.086 | 33.715 | 34.311 | 34.882 | 34.882 | 36.149 |
| Durasi | Intensitas Hujan Akibat Temperatur dan Kelembaban Udara - I (T,RH) | | | | | | | | | |
| 5 | 54.405 | 56.827 | 58.251 | 59.618 | 59.895 | 61.034 | 62.112 | 63.146 | 63.146 | 65.440 |
| 10 | 34.289 | 35.815 | 36.713 | 37.574 | 37.749 | 38.467 | 39.146 | 39.798 | 39.798 | 41.243 |
| 20 | 21.610 | 22.573 | 23.138 | 23.681 | 23.791 | 24.244 | 24.672 | 25.083 | 25.083 | 25.994 |
| 30 | 16.496 | 17.231 | 17.663 | 18.077 | 18.161 | 18.506 | 18.833 | 19.147 | 19.147 | 19.842 |

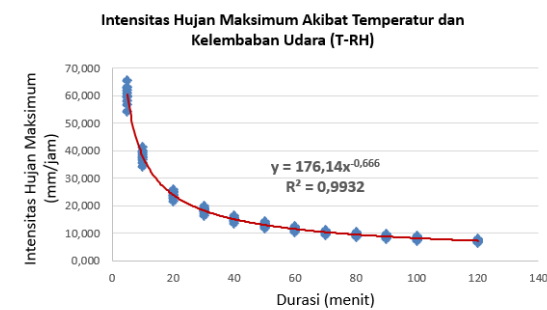
| T | 2 | 5 | 10 | 20 | 25 | 50 | 100 | 200 | 500 | 1000 |
|--------|--|--------|--------|--------|--------|--------|--------|--------|--------|--------|
| Xtr | 30.053 | 31.391 | 32.178 | 32.933 | 33.086 | 33.715 | 34.311 | 34.882 | 34.882 | 36.149 |
| Durasi | Intensitas Hujan Akibat Temperatur dan Kelembaban Udara - I (T,RH) | | | | | | | | | |
| 40 | 13.620 | 14.226 | 14.583 | 14.925 | 14.994 | 15.280 | 15.550 | 15.809 | 15.809 | 16.383 |
| 50 | 11.739 | 12.262 | 12.569 | 12.864 | 12.924 | 13.170 | 13.402 | 13.625 | 13.625 | 14.120 |
| 60 | 10.397 | 10.860 | 11.132 | 11.393 | 11.446 | 11.664 | 11.870 | 12.067 | 12.067 | 12.506 |
| 70 | 9.382 | 9.800 | 10.046 | 10.281 | 10.329 | 10.526 | 10.712 | 10.890 | 10.890 | 11.285 |
| 80 | 8.584 | 8.966 | 9.191 | 9.407 | 9.450 | 9.630 | 9.800 | 9.963 | 9.963 | 10.325 |
| 90 | 7.936 | 8.290 | 8.498 | 8.697 | 8.737 | 8.903 | 9.061 | 9.212 | 9.212 | 9.546 |
| 100 | 7.399 | 7.728 | 7.922 | 8.108 | 8.145 | 8.300 | 8.447 | 8.587 | 8.587 | 8.899 |
| 120 | 6.553 | 6.844 | 7.016 | 7.180 | 7.214 | 7.351 | 7.481 | 7.606 | 7.606 | 7.882 |



Gambar 4.16 Grafik intensitas hujan rancangan tiap periode akibat temperatur dan kelembaban udara (T-RH)

Tabel 4.55 Persamaan Intensitas Hujan Tiap Periode Akibat Temperatur dan Kelembaban Udara (T-RH)

| Periode (Tr) | Pers. Intensitas Hujan Akibat T dan RH |
|--------------|--|
| 2 | $I(T,RH) = 360.64 X^{-0.667}$ |
| 5 | $I(T,RH) = 376.696 X^{-0.667}$ |
| 10 | $I(T,RH) = 386.137 X^{-0.667}$ |
| 20 | $I(T,RH) = 395.196 X^{-0.667}$ |
| 25 | $I(T,RH) = 397.034 X^{-0.667}$ |
| 50 | $I(T,RH) = 404.584 X^{-0.667}$ |
| 100 | $I(T,RH) = 411.73 X^{-0.667}$ |
| 200 | $I(T,RH) = 418.588 X^{-0.667}$ |
| 500 | $I(T,RH) = 418.588 X^{-0.667}$ |
| 1000 | $I(T,RH) = 433.789 X^{-0.667}$ |

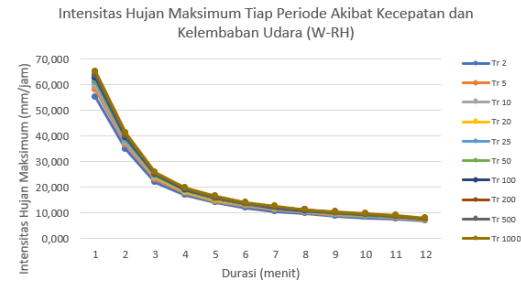


Gambar 4.17 Grafik intensitas hujan maksimum akibat temperatur dan kelembaban udara (T-RH)

Tabel 4.56 Perhitungan Intensitas Hujan Akibat Kecepatan Angin dan Kelembaban Udara (W-RH)

| T | 2 | 5 | 10 | 20 | 25 | 50 | 100 | 200 | 500 | 1000 |
|--------|---|--------|--------|--------|--------|--------|--------|--------|--------|--------|
| Xtr | 30.406 | 31.889 | 32.695 | 33.402 | 33.545 | 34.096 | 34.592 | 35.050 | 35.050 | 35.998 |
| Durasi | Intensitas Hujan Akibat Kecepatan Angin dan Kelembaban Udara - I (W,RH) | | | | | | | | | |
| 5 | 55.043 | 57.729 | 59.187 | 60.467 | 60.726 | 61.724 | 62.621 | 63.450 | 63.450 | 65.166 |
| 10 | 34.691 | 36.384 | 37.303 | 38.109 | 38.273 | 38.901 | 39.467 | 39.989 | 39.989 | 41.071 |
| 20 | 21.864 | 22.931 | 23.510 | 24.018 | 24.121 | 24.518 | 24.874 | 25.203 | 25.203 | 25.885 |
| 30 | 16.690 | 17.504 | 17.946 | 18.334 | 18.413 | 18.716 | 18.988 | 19.239 | 19.239 | 19.759 |

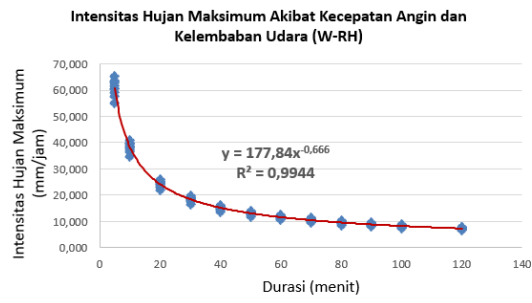
| T | 2 | 5 | 10 | 20 | 25 | 50 | 100 | 200 | 500 | 1000 |
|--------|---|--------|--------|--------|--------|--------|--------|--------|--------|--------|
| Xtr | 30.406 | 31.889 | 32.695 | 33.402 | 33.545 | 34.096 | 34.592 | 35.050 | 35.050 | 35.998 |
| Durasi | Intensitas Hujan Akibat Kecepatan Angin dan Kelembaban Udara - I (W,RH) | | | | | | | | | |
| 40 | 13.780 | 14.452 | 14.817 | 15.138 | 15.203 | 15.452 | 15.677 | 15.884 | 15.884 | 16.314 |
| 50 | 11.877 | 12.456 | 12.771 | 13.047 | 13.103 | 13.318 | 13.512 | 13.691 | 13.691 | 14.061 |
| 60 | 10.519 | 11.032 | 11.311 | 11.555 | 11.605 | 11.796 | 11.967 | 12.125 | 12.125 | 12.453 |
| 70 | 9.492 | 9.956 | 10.207 | 10.428 | 10.473 | 10.645 | 10.799 | 10.942 | 10.942 | 11.238 |
| 80 | 8.685 | 9.109 | 9.339 | 9.541 | 9.581 | 9.739 | 9.880 | 10.011 | 10.011 | 10.282 |
| 90 | 8.030 | 8.421 | 8.634 | 8.821 | 8.859 | 9.004 | 9.135 | 9.256 | 9.256 | 9.506 |
| 100 | 7.485 | 7.851 | 8.049 | 8.223 | 8.258 | 8.394 | 8.516 | 8.629 | 8.629 | 8.862 |
| 120 | 6.629 | 6.953 | 7.129 | 7.283 | 7.314 | 7.434 | 7.542 | 7.642 | 7.642 | 7.849 |



Gambar 4.18 Grafik intensitas hujan rancangan tiap periode akibat kecepatan angin dan kelembaban udara (W-RH)

Tabel 4.57 Persamaan Intensitas Hujan Tiap Periode Akibat Kecepatan Angin dan Kelembaban Udara (W-RH)

| Periode (Tr) | Pers. Intensitas Hujan Akibat W dan RH |
|--------------|--|
| 2 | $I (W,RH) = 364.87 X^{-0.667}$ |
| 5 | $I (W,RH) = 382.674 X^{-0.667}$ |
| 10 | $I (W,RH) = 392.341 X^{-0.667}$ |
| 20 | $I (W,RH) = 400.823 X^{-0.667}$ |
| 25 | $I (W,RH) = 402.542 X^{-0.667}$ |
| 50 | $I (W,RH) = 409.157 X^{-0.667}$ |
| 100 | $I (W,RH) = 415.107 X^{-0.667}$ |
| 200 | $I (W,RH) = 420.6 X^{-0.667}$ |
| 500 | $I (W,RH) = 420.6 X^{-0.667}$ |
| 1000 | $I (W,RH) = 431.974 X^{-0.667}$ |

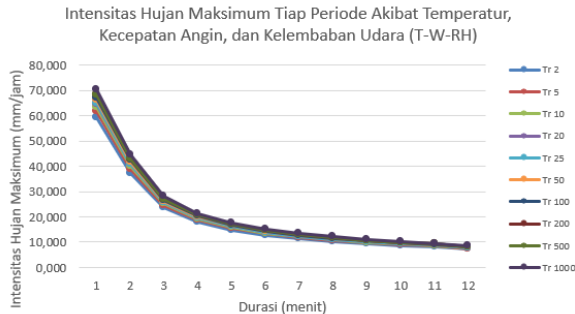


Gambar 4.19 Grafik intensitas hujan maksimum akibat kecepatan angin dan kelembaban udara (W-RH)

Tabel 4.58 Perhitungan Intensitas Hujan Akibat Temperatur, Kecepatan Angin, dan Kelembaban Udara (T-W-RH)

| T | 2 | 5 | 10 | 20 | 25 | 50 | 100 | 200 | 500 | 1000 |
|--------|---|--------|--------|--------|--------|--------|--------|--------|--------|--------|
| Xtr | 32.709 | 34.116 | 34.926 | 35.697 | 35.853 | 36.490 | 37.086 | 37.655 | 37.655 | 38.907 |
| Durasi | Intensitas Hujan Akibat Temperatur, Kecepatan Angin dan Kelembaban Udara - I (T,W,RH) | | | | | | | | | |
| 5 | 59.213 | 61.759 | 63.226 | 64.621 | 64.904 | 66.056 | 67.137 | 68.166 | 68.166 | 70.432 |
| 10 | 37.319 | 38.924 | 39.848 | 40.728 | 40.906 | 41.632 | 42.313 | 42.962 | 42.962 | 44.390 |
| 20 | 23.520 | 24.532 | 25.114 | 25.669 | 25.781 | 26.239 | 26.668 | 27.077 | 27.077 | 27.977 |
| 30 | 17.954 | 18.726 | 19.171 | 19.594 | 19.680 | 20.029 | 20.357 | 20.669 | 20.669 | 21.356 |

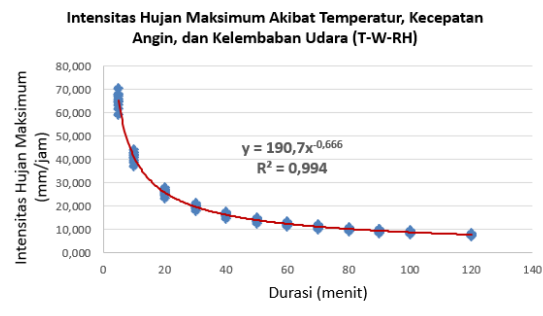
| T | 2 | 5 | 10 | 20 | 25 | 50 | 100 | 200 | 500 | 1000 |
|--------|---|--------|--------|--------|--------|--------|--------|--------|--------|--------|
| Xtr | 32.709 | 34.116 | 34.926 | 35.697 | 35.853 | 36.490 | 37.086 | 37.655 | 37.655 | 38.907 |
| Durasi | Intensitas Hujan Akibat Temperatur, Kecepatan Angin dan Kelembaban Udara - I (T,W,RH) | | | | | | | | | |
| 40 | 14.824 | 15.461 | 15.828 | 16.178 | 16.249 | 16.537 | 16.807 | 17.065 | 17.065 | 17.632 |
| 50 | 12.777 | 13.326 | 13.643 | 13.944 | 14.005 | 14.253 | 14.486 | 14.709 | 14.709 | 15.197 |
| 60 | 11.316 | 11.802 | 12.083 | 12.349 | 12.403 | 12.623 | 12.830 | 13.027 | 13.027 | 13.460 |
| 70 | 10.212 | 10.651 | 10.904 | 11.144 | 11.193 | 11.392 | 11.578 | 11.756 | 11.756 | 12.146 |
| 80 | 9.343 | 9.744 | 9.976 | 10.196 | 10.241 | 10.422 | 10.593 | 10.755 | 10.755 | 11.113 |
| 90 | 8.638 | 9.009 | 9.223 | 9.427 | 9.468 | 9.636 | 9.794 | 9.944 | 9.944 | 10.274 |
| 100 | 8.052 | 8.399 | 8.598 | 8.788 | 8.826 | 8.983 | 9.130 | 9.270 | 9.270 | 9.578 |
| 120 | 7.132 | 7.438 | 7.615 | 7.783 | 7.817 | 7.956 | 8.086 | 8.210 | 8.210 | 8.483 |



Gambar 4.20 Grafik intensitas hujan rancangan tiap periode akibat temperatur, kecepatan angin, dan kelembaban udara (T-W-RH)

Tabel 4.59 Persamaan Intensitas Hujan Tiap Periode Akibat Temperatur, Kecepatan Angin, dan Kelembaban Udara (T-W-RH)

| Periode (Tr) | Pers. Intensitas Hujan Akibat T, W, RH |
|--------------|--|
| 2 | $I(T,W,RH) = 392.512 X^{-0.667}$ |
| 5 | $I(T,W,RH) = 409.389 X^{-0.667}$ |
| 10 | $I(T,W,RH) = 419.115 X^{-0.667}$ |
| 20 | $I(T,W,RH) = 428.365 X^{-0.667}$ |
| 25 | $I(T,W,RH) = 430.239 X^{-0.667}$ |
| 50 | $I(T,W,RH) = 437.876 X^{-0.667}$ |
| 100 | $I(T,W,RH) = 445.038 X^{-0.667}$ |
| 200 | $I(T,W,RH) = 451.864 X^{-0.667}$ |
| 500 | $I(T,W,RH) = 451.864 X^{-0.667}$ |
| 1000 | $I(T,W,RH) = 466.879 X^{-0.667}$ |

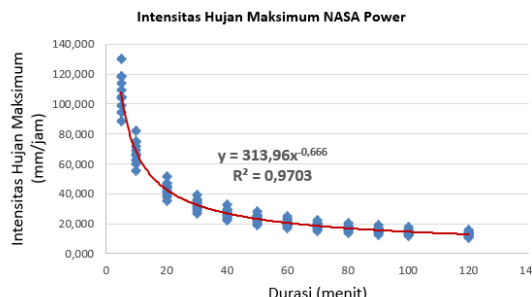


Gambar 4.21 Grafik intensitas hujan maksimum akibat temperatur, kecepatan angin, dan kelembaban udara (T-W-RH)

Tabel 4.60 Perhitungan Intensitas Hujan NASA Power

| T | 2 | 5 | 10 | 20 | 25 | 50 | 100 | 200 | 500 | 1000 |
|--------|-----------------------------|--------|--------|---------|---------|---------|---------|---------|---------|---------|
| Xtr | 48.791 | 52.283 | 54.753 | 57.431 | 57.981 | 60.445 | 62.945 | 65.503 | 65.503 | 71.740 |
| Durasi | Intensitas Hujan NASA Power | | | | | | | | | |
| 5 | 88.325 | 94.646 | 99.119 | 103.965 | 104.962 | 109.422 | 113.948 | 118.578 | 118.578 | 129.870 |
| 10 | 55.667 | 59.651 | 62.470 | 65.524 | 66.153 | 68.963 | 71.816 | 74.734 | 74.734 | 81.851 |
| 20 | 35.084 | 37.595 | 39.372 | 41.297 | 41.693 | 43.464 | 45.262 | 47.101 | 47.101 | 51.587 |

| T | 2 | 5 | 10 | 20 | 25 | 50 | 100 | 200 | 500 | 1000 |
|--------|-----------------------------|--------|--------|--------|--------|--------|--------|--------|--------|--------|
| Xtr | 48.791 | 52.283 | 54.753 | 57.431 | 57.981 | 60.445 | 62.945 | 65.503 | 65.503 | 71.740 |
| Durasi | Intensitas Hujan NASA Power | | | | | | | | | |
| 30 | 26.782 | 28.698 | 30.054 | 31.524 | 31.826 | 33.178 | 34.551 | 35.955 | 35.955 | 39.379 |
| 40 | 22.112 | 23.694 | 24.814 | 26.027 | 26.277 | 27.393 | 28.527 | 29.686 | 29.686 | 32.512 |
| 50 | 19.058 | 20.422 | 21.387 | 22.433 | 22.648 | 23.610 | 24.587 | 25.586 | 25.586 | 28.023 |
| 60 | 16.879 | 18.087 | 18.942 | 19.868 | 20.059 | 20.911 | 21.776 | 22.660 | 22.660 | 24.818 |
| 70 | 15.232 | 16.322 | 17.094 | 17.929 | 18.101 | 18.870 | 19.651 | 20.449 | 20.449 | 22.397 |
| 80 | 13.936 | 14.933 | 15.639 | 16.404 | 16.561 | 17.265 | 17.979 | 18.709 | 18.709 | 20.491 |
| 90 | 12.885 | 13.807 | 14.459 | 15.166 | 15.312 | 15.962 | 16.622 | 17.298 | 17.298 | 18.945 |
| 100 | 12.012 | 12.871 | 13.479 | 14.138 | 14.274 | 14.881 | 15.496 | 16.126 | 16.126 | 17.661 |
| 120 | 10.638 | 11.399 | 11.938 | 12.522 | 12.642 | 13.179 | 13.724 | 14.282 | 14.282 | 15.642 |



Gambar 4.23 Grafik intensitas hujan maksimum NASA Power

Tabel 4.62 Rekapitulasi Persamaan Model Intensitas Hujan Maksimum

| No | Variabel Iklim | Persamaan Intensitas Hujan | Koef. Deterministik |
|----|---------------------|-------------------------------------|---------------------|
| 1 | Temperatur (T) | $I(T) = 162,46 X^{-0,666}$ | $R^2 = 0,9948$ |
| 2 | Kecepatan Angin (W) | $I(W) = 149,63 X^{-0,666}$ | $R^2 = 0,9937$ |
| 3 | Kelembaban (RH) | $I(RH) = 166,10 X^{-0,666}$ | $R^2 = 0,9929$ |
| 4 | (T-W) | $I(T,W) = 177,78 X^{-0,666}$ | $R^2 = 0,9946$ |
| 5 | (T-RH) | $I(T,RH) = 176,14 X^{-0,666}$ | $R^2 = 0,9932$ |
| 6 | (W-RH) | $I(W,RH) = 177,84 X^{-0,666}$ | $R^2 = 0,9944$ |
| 7 | (T-W-RH) | $I(T,W,RH) = 190,70 X^{-0,666}$ | $R^2 = 0,9940$ |
| 8 | NASA Power | $I(NASA Power) = 313,96 X^{-0,666}$ | $R^2 = 0,9703$ |

Pembahasan

Berdasarkan hasil analisis data yang telah dilakukan, diperoleh sebagai berikut:

- Simulasi curah hujan menggunakan data dari Nasa Power yang didasarkan pada kondisi pola hujan yang dibentuk oleh perubahan iklim, juga dilakukan untuk menghitung curah hujan yang disebabkan oleh variabel iklim seperti temperatur (T), kecepatan angin (W) dan kelembaban udara (RH) dengan simulasi sebanyak 7 kali terhadap 3 variabel tersebut (T, W, RH, T-W, T-RH, W-RH, T-W-RH) yang diolah secara bersama-sama. Karena nilai koefisien skewness (Cs), koefisien kurtosis (Ck), dan koefisien varian (Cv) tidak memenuhi persyaratan salah satu jenis distribusi, distribusi curah hujan maksimum untuk semua jenis simulasi menggunakan distribusi Log Pearson Tipe III.
- Intensitas curah hujan bervariasi tergantung pada lamanya curah hujan dan frekuensi kejadiannya. Kedua parameter ini dapat dikaitkan secara statistik dengan frekuensi kejadiannya dan menghasilkan grafik hubungan Intensitas-Durasi-Frekuensi (IDF) yang terbentuk sesuai dengan pola grafik kekuatan.
- Didapatkan persamaan model intensitas hujan akibat temperatur yaitu $I(T) = 162,46 X^{-0,666}$; akibat kecepatan angin yaitu $I(W) = 149,63 X^{-0,666}$; akibat kelembaban udara yaitu $I(RH) = 166,10 X^{-0,666}$; akibat temperatur dan kecepatan angin yaitu $I(T,W) = 177,78 X^{-0,666}$; akibat temperatur dan kelembaban udara yaitu $I(T,RH) = 176,14 X^{-0,666}$; akibat kecepatan angin dan kelembaban udara yaitu $I(W,RH) = 177,84 X^{-0,666}$; akibat temperatur, kecepatan angin, dan kelembaban udara yaitu $I(T,W,RH) = 190,70 X^{-0,666}$; sedangkan untuk model intensitas hujan kondisi riil dari NASA Power yaitu $I(NASA Power) = 313,96 X^{-0,666}$.
- Berdasarkan model intensitas hujan tersebut dapat disimpulkan bahwa parameter iklim yang paling berpengaruh terhadap intensitas hujan untuk simulasi 1 variabel adalah kelembaban udara (RH); untuk simulasi 2 variabel adalah kecepatan angin dan kelembaban udara (W-RH); dan yang paling tinggi pengaruhnya yaitu simulasi 3 variabel temperatur, kecepatan angin, dan kelembaban udara (T-W-RH) secara simultan.

4. CONCLUSION

Berdasarkan hasil analisis dan pembahasan dapat disimpulkan sebagai berikut: 1). Pemanasan global telah memberikan dampak yang signifikan terhadap model intensitas hujan di wilayah DAS Cidanau Kabupaten Serang Provinsi Banten. Didapatkan persamaan model intensitas hujan akibat temperatur yaitu $I(T) = 162,46 X - 0,066$; akibat kecepatan angin yaitu $I(W) = 149,63 X - 0,666$; akibat kelembaban udara yaitu $I(RH) = 166,10 X - 0,666$; akibat temperatur dan kecepatan angin yaitu $I(T-W) = 177,78 X - 0,666$; akibat temperatur dan kelembaban udara yaitu $I(T-RH) = 176,14 X - 0,666$; akibat kecepatan angin dan kelembaban udara yaitu $I(W-RH) = 177,84 X - 0,666$; akibat temperatur, kecepatan angin, dan kelembaban udara yaitu $I(T-W-RH) = 190,70 X - 0,666$; sedangkan untuk model intensitas hujan kondisi riil dari NASA Power yaitu $I(NASA Power) = 313,96 X - 0,666$. 2). Berdasarkan model intensitas hujan tersebut dapat disimpulkan bahwa parameter iklim yang paling berpengaruh terhadap intensitas hujan untuk simulasi 1 variabel adalah kelembaban udara (RH); untuk simulasi 2 variabel adalah kecepatan angin dan kelembaban udara (W-RH); dan yang paling tinggi pengaruhnya yaitu simulasi 3 variabel temperatur, kecepatan angin, dan kelembaban udara (T-W-RH) secara simultan.

5. REFERENCES

- Aldrian, E. (2001). Pembagian iklim Indonesia berdasarkan pola curah hujan dengan metoda "double correlation". *Jurnal Sains & Teknologi Modifikasi Cuaca*, 2(1), 11-18.
- Ammann, C. M., Joos, F., Schimel, D. S., Otto-Btiesner, B. L., & Tomas, R. A. (2007). Solar influence on climate during the past millennium: Results from transient simulations with the NCAR Climate System Model. *Proceedings of the National Academy of Sciences*, 104(10), 3713-3718.
- Anna, A. N. (2014). Analisis Potensi Limpasan Permukaan (Run Off) Menggunakan Model CookS Di Das Penyangga Kota Surakarta Untuk Pencegahan Banjir Luapan Sungai Bengawan Solo.
- Das, S., & Angadi, D. P. (2020). Land use-land cover (LULC) transformation and its relation with land surface temperature changes: A case study of Barrackpore Subdivision, West Bengal, India. *Remote Sensing Applications: Society and Environment*, 19, 100322.
- Demissie, M., Wagesho, N., & Hussen, B. (2016). Assessment of climate change impact on flood frequency of Bilate River Basin, Ethiopia. *Civil and Environmental Research*, 8(12), 27-43.
- Fadholi, A. (2013). Persamaan regresi prediksi curah hujan bulanan menggunakan data suhu dan kelembapan udara di Ternate. *Statistika*, 13(1).
- Harisuseno, D., Bisri, M., Yudono, A., & Purnamasari, F. D. (2014). Analisa spasial limpasan permukaan menggunakan model hidrologi di wilayah perkotaan. *Journal of Environmental Engineering and Sustainable Technology*, 1(1), 51-57.
- Hegerl, G. C., Zwiers, F. W., Braconnot, P., Gillett, N. P., Luo, Y., Orsini, J. A. M., ... & Planton, S. (2007). Understanding and attributing climate change. Contribution of Working Group I to the Fourth Assessment Report of the Intergovernmental Panel on Climate Change (IPCC), Solomon, S., D. Qin, M. Manning, Z. Chen, M. Marquis, KB Averyt, M. Tignor and HL Miller (eds.). Cambridge University Press, Cambridge, United Kingdom and New York, NY, USA, 996 pp.
- Musa, R. (2021). Kajian Penanggulangan Banjir dengan Menggunakan Kolam Retensi (Studi Kasus Sungai Lamasi Kabupaten Luwu). *Jurnal Teknik Sipil MACCA*, 6(1), 18-25.
- Musa, R., & Kasim, P. A. (2019). Klasifikasi Distribusi Butiran Hujan Menggunakan Alat Rainfall Simulator. *Jurnal Teknik Sipil MACCA*, 4(2), 113-124.
- Narulita, I. (2017). Pengaruh ENSO dan IOD pada Variabilitas Curah Hujan di DAS Ceruk, pulau Belitung. *Jurnal Tanah dan Iklim*, 41(1), 45-60.
- Pabalik, I., Ihsan, N., & Arsyad, M. (2015). Analisis Fenomena Perubahan Iklim dan Karakteristik Curah Hujan Ekstrim di Kota Makassar. *Jurnal Sains Dan Pendidikan Fisika (JSPF)*, 11(1), 88-92.
- Rusmawati, R., Musa, R., & Mallombasi, A. (2022). Kajian Penanggulangan Banjir dengan Menggunakan Tangkul pada Sungai Mata Allo Kabupaten Enrekang. *Jurnal Teknik Sipil MACCA*, 7(1), 1-7.
- Suprihatin, T., Rahayu, S., Rifa'i, M., & Widyarti, S. (2020). Senyawa pada serbuk rimpang kunyit (*Curcuma longa* L.) yang berpotensi sebagai antioksidan. *Buletin Anatomi dan Fisiologi*, 5(1), 35-42.
- Syamsuddin, A. P., Musa, R., & Ashad, H. (2022). Kajian Pengaruh Parameter Hidrograf Satuan Sintetik Berdasarkan Karakteristik Daerah Aliran Sungai. *Jurnal Teknik Sipil MACCA*, 7(1), 50-56.
- Utom, A. U., Odoh, B. I., & Okoro, A. U. (2012). Estimation of Aquifer Transmissivity Using Parameters Derived from Surface Resistivity Measurements: A Case History from Parts of Enugu Town (Nigeria).
- Warnatzsch, E. A., & Reay, D. S. (2019). Temperature and precipitation change in Malawi: Evaluation of CORDEX-Africa climate simulations for climate change impact assessments and adaptation planning. *Science of the Total Environment*, 654, 378-392.